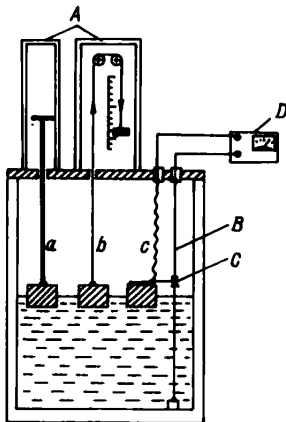


Tepelné izolace a hladinoměry kryokapalin

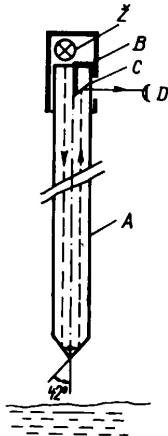
- Různé typy hladinoměrů pro kryokapaliny
- Doplňování kryokapalin
- Dewarova nádoba
- Přenos tepla vedením, zářením,...
- Tepelné izolace - vakuová, superizolace, pěnová,....

Plovákové hladinoměry



Obr. 55. Plovákové hladinoměry:
a – tyčinkový, b – s vláknovým převodem,
c – s elektrickým vyhodnocováním

Optické hladinoměry

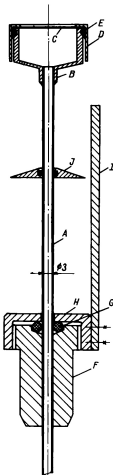


Obr. 56. Optický hladinoměr

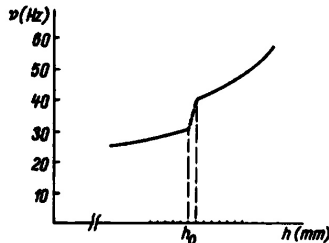
hodí se pro LN_2 , ne pro LHe^2

²J.Jelínek, Z. Málek: Kryogenní technika, SNTL, Praha, 1982

Termoakustický hladinoměr pro LHe

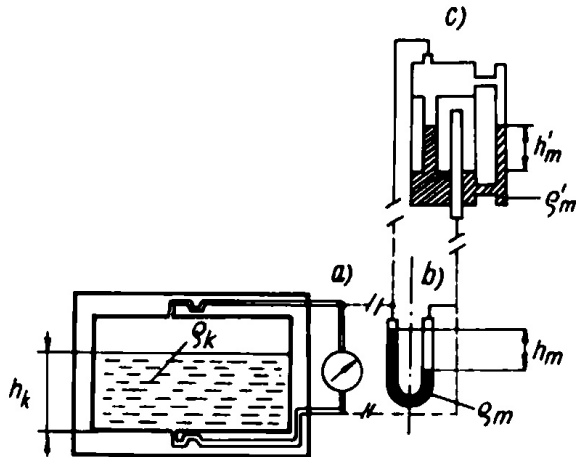


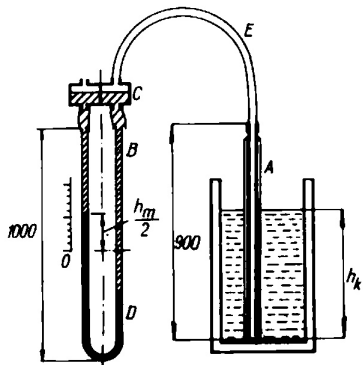
Obr. 57. Termoakustický hladinoměr



Obr. 58. Frekvence termoakustických kmitů v závislosti na vzdálenosti h ode dna nádoby s LHe (h_0 výška hladiny)

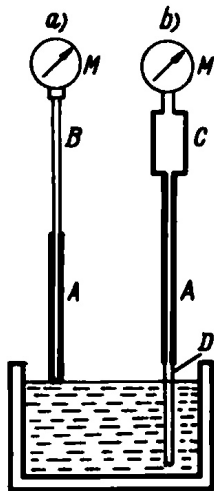
Hladinoměry založené na měření tlaku





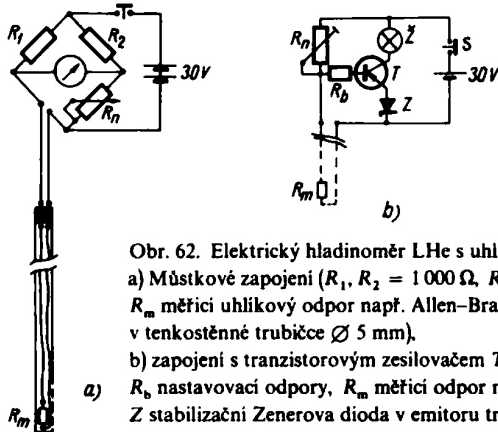
Obr. 60. Hladinoměr LN_2 pro měření v nádobách s přímým hrdelem [A tepelně vodivá trubice s izolačním pouzdrem, B diferenciální tlakoměr, C dvoukomorový zásobník lehké kapaliny (voda) s relativně velkým průřezem komor, D těžší kapalina (obarvený dichlormethan), E spojovací hadička, h_k výška sloupce LN_2 , $h_m/2$ měřený údaj; v případě uvedených kapalin je $h_m = 2,4 h_k$]

Kondenzační hladinoměry



Obr. 61. Hladinoměry využívající kondenzaci par kapaliny:
a) Hladinoměr indikující dotyk s hladinou poklesem hodnoty tlaku na manometru,
b) hladinoměr pro kontinuální měření výšky sloupce kryokapaliny

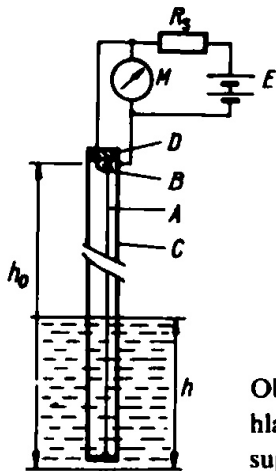
Elektrické odporové hladinoměry



Obr. 62. Elektrický hladinoměr LHe s uhlikovým odporem:

- Můstkové zapojení ($R_1, R_2 = 1\,000\,\Omega$, R_n nastavovací odpor $> 1\,000\,\Omega$, R_m měřící uhlikový odpor např. Allen–Bradley $50\,\Omega/250\text{ mW}$ umístěný v tenkostěnné trubičce $\varnothing 5\text{ mm}$).
- zapojení s tranzistorovým zesilovačem T a indikační žárovkou \dot{Z} (R_n , R_b nastavovací odpory, R_m měřící odpor např. Allen–Bradley $50\,\Omega$, Z stabilizační Zenerova dioda v emitoru tranzistoru T , S spinaci tlačítko)

Supravodivý hladinoměr



Obr. 63. Kontinuální
hlininoměr LHe se
supravodivým vláknem

Kapacitní hladinoměr

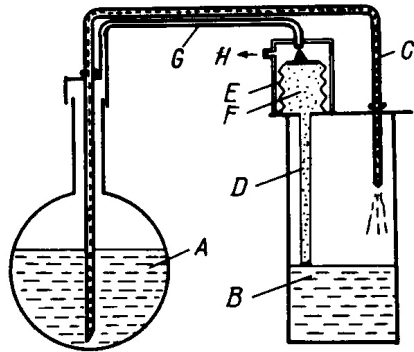
válcový kondenzátor

| Kapalina | bod varu [K] | ε_r |
|-----------------|--------------|-----------------|
| LHe | 4,21 | 1,0492 |
| LH ₂ | 20,38 | 1,230 |
| LNe | 27,10 | 1,187 |
| N ₂ | 77,35 | 1,431 |
| LO ₂ | 90,19 | 1,484 |

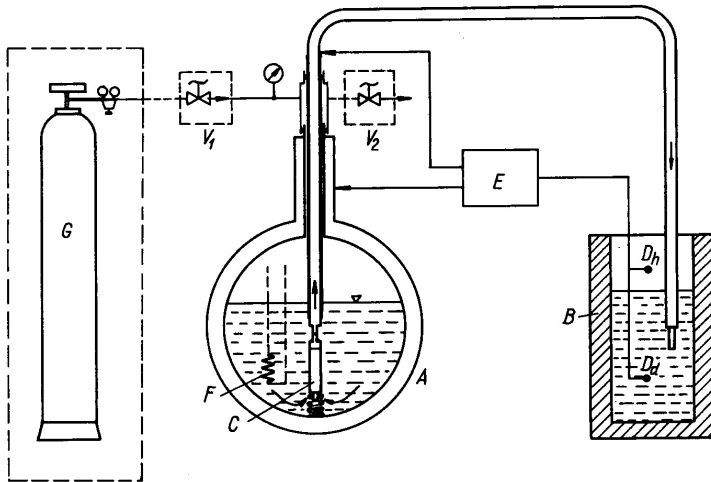
Další typy hladinoměrů

- ultrazvuk
- optický absorpční
- radar
- vážení

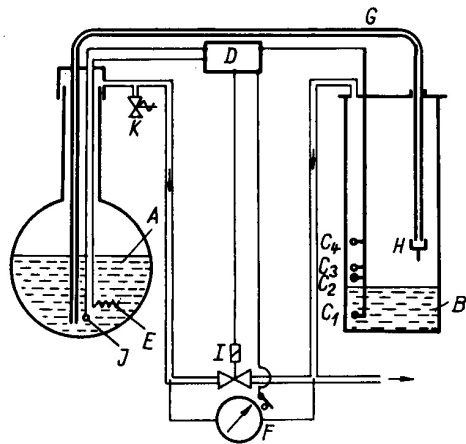
Automatické doplňování kryokapalin



Obr. 64. Automatické zařízení pro doplňování LN_2 s vlnovcovým ventilem



Obr. 65. Automatický regulátor hladiny LN_2 s miniaturním ponorným elektromagnetickým kryoventilem



Obr. 66. Automatické zařízení pro udržování hladiny LHe v požadovaném rozmezí

Tepelné izolace

- přenos tepla zářením
- přenos tepla konvekcí (proudění plynu)
- přenos tepla zbytkovým plynem
- vedení tepla pevnými látkami

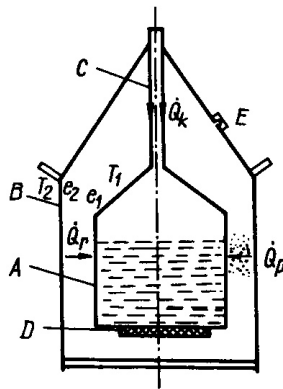
Pro mili a mikro-kelvinovou oblast - mechanické a akustické kmity, vřílivé proudy, elektromagnetické záření,...

Příklad: špendlík z výšky 3 mm na 100 g Cu blok o teplotě 10^{-6} K způsobí vzrůst teploty na 10^{-2} K

Odpar kryokapalin

| Kapalina | bod varu [K] | odpar [$cm^3 h^{-1}$] příkonem 1 mW |
|----------|--------------|---------------------------------------|
| L^3He | 3,19 | 7,2 |
| L^4He | 4,21 | 1,40 |
| LH_2 | 20,38 | $1,15 \times 10^{-2}$ |
| LNe | 27,10 | $3,46 \times 10^{-2}$ |
| LN_2 | 77,35 | $2,26 \times 10^{-2}$ |
| LO_2 | 90,19 | $1,48 \times 10^{-2}$ |

Dewarova nádoba na LN₂



Obr. 67. Jednoduchá
Dewarova nádoba pro
přechovávání LN₂

Přenos tepla zářením

černé těleso - šedé těleso - záření v široké frekvenční oblasti
Wienův zákon:

$$\lambda_m = \frac{2898}{T} \quad [\mu m, K]$$

Stefan-Boltzmanův zákon:

$$q = \sigma T^4 \quad [W/m^2]$$

dvě plochy s různou teplotou:

$$Q_{21} = \sigma E_{21} A_{21} (T_2^4 - T_1^4) \quad [W]$$

$$A_{21} \approx A_1 ; \quad E_{21} = \frac{e_1 e_2}{e_2 + (1 - e_2)e_1}$$

e_1, e_2 - emisivity povrchů s teplotou T_1 a T_2

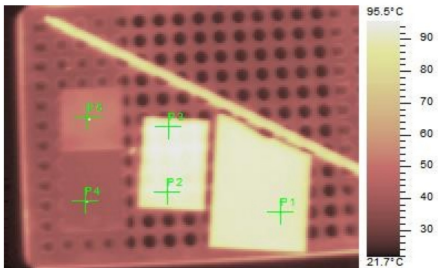
Záření černého tělesa

| T[K] | $T^4[K^4]$ | $q[Wm^{-2}]$ | $\lambda_m[\mu m]$ |
|------|--------------------|------------------------|--------------------|
| 300 | $8,1 \times 10^9$ | 460 | 9,66 |
| 77 | $3,51 \times 10^7$ | 1,99 | 37,6 |
| 20 | $1,60 \times 10^5$ | $9,1 \times 10^{-3}$ | 144,9 |
| 4 | $2,56 \times 10^2$ | $1,45 \times 10^{-5}$ | 724,5 |
| 1 | 1 | $5,67 \times 10^{-8}$ | 2898 |
| 0,1 | 1×10^{-4} | $5,67 \times 10^{-12}$ | 28980 |

Součinitel poměrné pohltivosti

| Látka | $T[K]$ | a |
|-----------------------------|--------|-------|
| Al elektrolyticky leštěný | 300 | 0,03 |
| | 76 | 0,018 |
| | 4 | 0,011 |
| Al s vrstvou oxidů $1\mu m$ | 300 | 0,30 |
| Ag | 76 | 0,01 |
| Au | 76 | 0,01 |
| Cu oxidovaný | 300 | 0,78 |
| Cu leštěná | 300 | 0,03 |
| Sn | 76 | 0,013 |
| Ni leštěný | 75 | 0,016 |
| nerez | 76 | 0,048 |
| sklo | 293 | 0,94 |

tloušťka vrstvy alespoň 1% z λ_m



| Bod | a | teplota | a=1 | materiál |
|-----|------|----------|---------|-----------------------|
| P1 | 0,73 | 103,0 °C | 90,8 °C | korund |
| P2 | 0,77 | 102,8 °C | 93,2 °C | sklo |
| P3 | 0,79 | 103,0 °C | 94,9 °C | sklo pískované |
| P4 | 0,07 | 100,0 °C | 40,4 °C | Al leštěný |
| P5 | 0,21 | 101,9 °C | 53,2 °C | Al leštěný, pískovaný |

Snížení radiačního tepelného toku pomocnými mezistěnami

n- tepelně izolovaných mezistěn

$$Q = \frac{\sigma E_{21} A_1 (T_2^4 - T_1^4)}{n + 1}$$

reálně 2-3 krát větší tepelný tok
je to princip mnohovrstevné izolace

Příklad:

$$e_1 = e_2 \ll 1 ; E_{21} = \frac{e}{2} ; T_2 \gg T_1$$

$$Q = \sigma A_1 T_2^4 \frac{e}{2}$$

$$T_2 = 300K ; T_1 = 4,2K ; e = 0,04 ; A_1 = 1m^2 \Rightarrow Q = 9 W$$

to je odpar asi $12 \text{ lh}^{-1} \text{ LHe}$

$$T_2 = 77K \Rightarrow Q = 39 mW$$

to je odpar asi $52 \text{ cm}^3 \text{ h}^{-1}$

Vedení tepla konvekcí - prouděním plynu

$$Q = C \varrho^{1/2} (T_2 - T_1)^{5/4}$$

ϱ je hustota, C je konstanta
zabránit konvekci můžeme:

- rozdelení prostoru na malé komůrky
- snížením tlaku pod 10 Pa

Vedení tepla zbytkovým plynem

pro vzduch při atm. tlaku:

$$Q = \frac{\lambda A_1}{d} (T_2 - T_1)$$

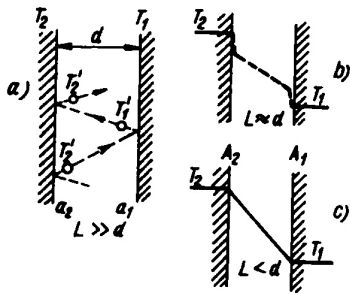
pro molekulární proudění a souosé válcové plochy:

$$Q = \left(\frac{R}{8\pi} \right)^{1/2} \frac{\gamma + 1}{\gamma - 1} a_c \frac{T_2 - T_1}{(MT)^{1/2}} p A_1$$

kde $\gamma = \frac{c_p}{c_v}$, a_c je koeficient akomodace

$$a_c = \frac{a_1 a_2}{a_2 + a_1 (1 - a_2) \frac{A_2}{A_1}}$$

$$a_1 = \frac{T_2^{\circ} - T_1^{\circ}}{T_2^{\circ} - T_1^{\circ}}, \quad a_2 = \frac{T_2^{\circ} - T_1^{\circ}}{T_2 - T_1}$$



Obr. 72. Vedení tepla zbytkovým plynem:

- a) $L \gg d$, molekuly plynu mají po srážce se stěnami A_1 a A_2 energie odpovídající teplotám T'_1 a T'_2 .
- b) $L \approx d$, závislost teploty plynu mezi oběma stěnami schématicky znázorňuje náčrt,
- c) $L < d$, průběh teploty mezi stěnami je přibližně lineární

Akomodační koeficient - orientační hodnoty

| Teplota [K] | He | H ₂ | vzduch |
|-------------|-----|----------------|---------|
| 300 | 0,3 | 0,3 | 0,8-0,9 |
| 77 | 0,4 | 0,5 | 1 |
| 20 | 0,6 | 1 | 1 |
| 4 | 1 | 1 | 1 |

Vedení tepla pevnými látkami

$$Q = \frac{\lambda A(T_2 - T_1)}{d} \quad [W]$$

n-vrstev různých materiálů

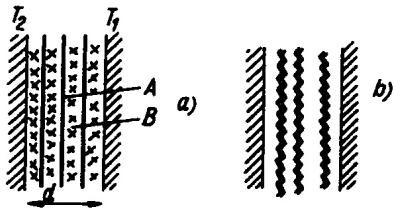
$$Q = \frac{A(T_2 - T_1)}{\sum_{i=1}^n R_i} ; \quad R_i = \frac{d_i}{\lambda_i}$$

Vakuová izolace - Dewarova nádoba

- tlak asi 10^{-3} Pa
- materiál tvrdé sklo, nerez, ...
- Ag - kvůli radiaci
- difuze He přes sklo
- kombinace vakua a jiných druhů izolace

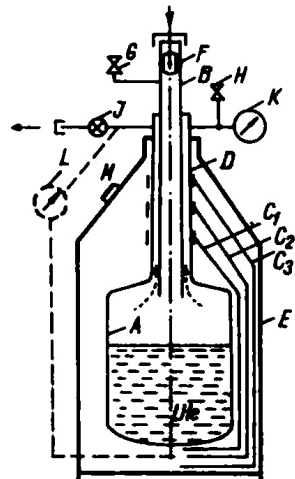
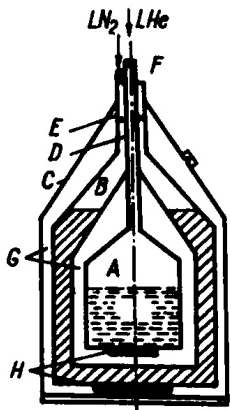
Při tlaku 10^{-3} Pa je střední volná dráha pro vzduch a teplotu 300 K asi 6,6 m.

Mnohovrstevná izolace - superizolace



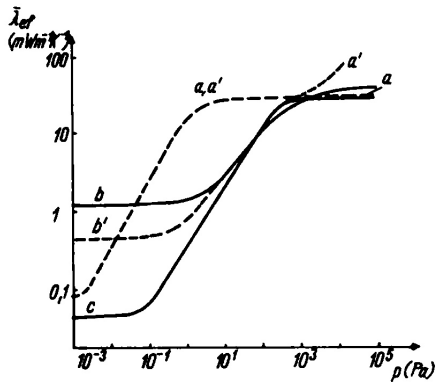
Obr. 75. Příklady dvou typů mnohovrstevné izolace (superizolace):
a) A hliníková fólie, B skelná tkanina,
b) fólie z plastické hmoty (např. z mylaru)
jednostranně pokovená Al

Dewarova nádoba na LHe



Prášková izolace

- jemný prášek z tepelně nevodivého materiálu
- snížení tlaku
- nesmí se mechanicky stlačit
- perlit, silikagel, ...



Obr. 74. Závislosti efektivní tepelné vodivosti λ_{ef} na tlaku p zbytkových plynů pro různé typy prakticky užívaných izolací:

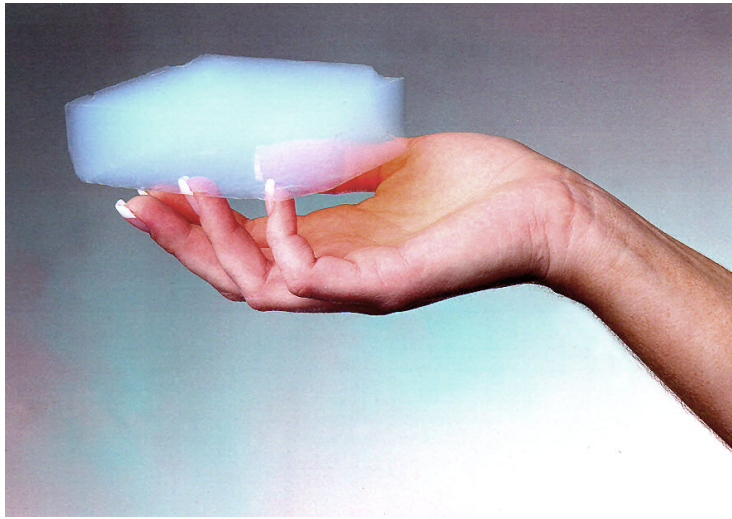
- a) Idealizovaný případ vakuové izolace ($d = 1$ cm), kde nemůže vznikat konvekce.
- a') vakuová izolace ($d = 1$ cm) s možností vzniku konvekce při tlaku $p > 10$ Pa,
- b) vakuoprášková izolace,
- b') vakuoprášková izolace s příměsí kovových vloček,
- c) mnohovrstvá izolace (superizolace)

Pěnová izolace

- malé uzavřené, nebo otevřené komůrky
- polystyren, polyuretan, epoxid, sklo,...
- malá hustota
- vakuum
- polystyren 4l LN_2 , síla stěny 3 cm, odpaření asi za 14 h
- raketová technika - STS 107, start 16.1.2003, 1.2.2003 Columbia, 60x38x7,5 cm, rychlosť 185–255 m/s

Aerogel

- Si, C, Al₂O₃, ...
- póry 30 nm
- nižší tepelná vodivost než vzduch
- hustota asi 1900 g/m³
- nejmenší hustota 2013 aerographene 160 g/m³, vzduch 1200 g/m³
- využití: tepelná izolace - raketová technika, vesmírné sondy, oblečení, budovy,...; absorpční materiál; léčiva- je biokompatibilní;...



17



| Látka | $[Wm^{-1}K^{-1}]$ |
|------------------|-------------------|
| graphene | 4840 |
| c-BN | 740 |
| Ag | 429 |
| Cu | 401 |
| Au | 318 |
| Ni | 90,9 |
| korund | 30 |
| nerez | 18 |
| a-BN | 3 |
| sklo | 0,8-1,4 |
| polyethylen HDPE | 0,5 |
| plexisklo | 0,2 |
| korek | 0,04-0,07 |
| papír | 0,05 |
| polystyren | 0,033 |
| aerogel | 0,03 - 0,004 |
| vzduch | 0,026 |

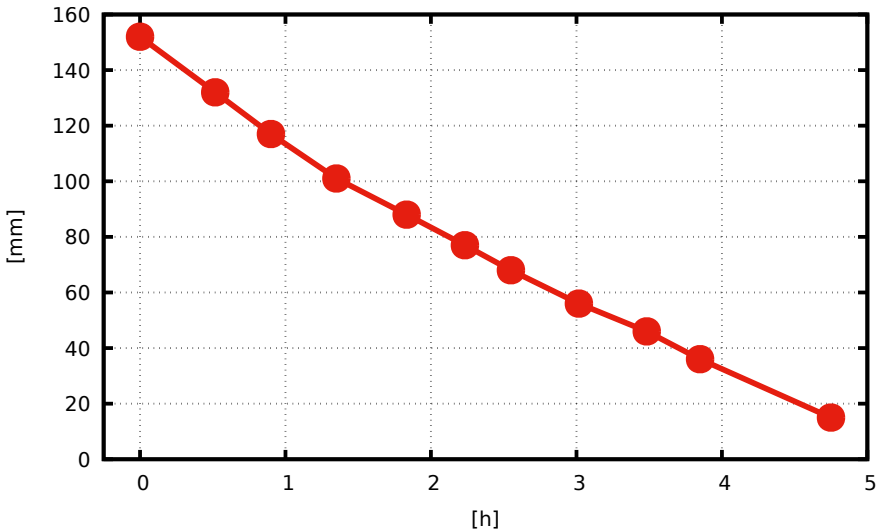
LN₂

| Typ | objem [l] | odpar [%/den] | materiál |
|-------|-----------|---------------|------------|
| IKL32 | 31,5 | 1,8 | Al + nerez |
| Bo 50 | 50 | 3,5 | nerez |
| EC 75 | 75 | 1,25 | nerez |
| T600 | 632 | 1 | nerez |

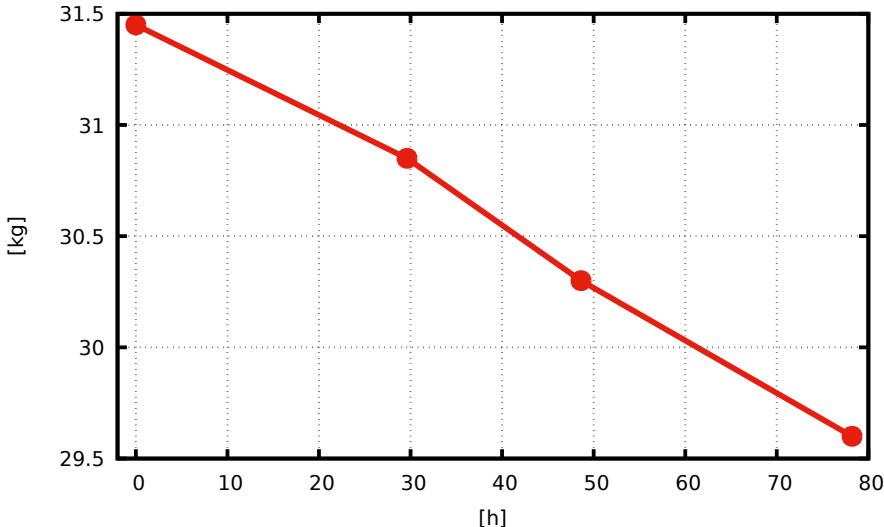
He

| Typ | objem [l] | stínění | odpar He [%/den] | materiál |
|--------|-----------|---------|------------------|----------|
| He50 | 50 | LN2 | 3,5 | nerez |
| STG40 | 40 | LN2 | 1 | nerez |
| STG100 | 100 | S | 1,5 | nerez |
| LHe | 500 | S | 0,75 | nerez |

Polystyrenový kalíšek - LN₂



Dewarova nádoba - LN₂



0,57 kg/den